

船舶에 있어서의 内燃機關驅動發電機의 速度安定度에 關한 研究

논 문
24~4~1

河 注 植* · 盧 彰 注**

(Jooshik Ha) (Changjoo No)

Abstract

The speed characteristics of the diesel engines driving alternators are very important because it is directly concerned to the quality of electric power especially when electric power is supplied by a single alternator.

In this paper, the speed characteristics of the diesel engine, equipped with a centrifugal mechanical governor, driving an alternator is dealt when load changes stepwise.

The all coefficients included in the block diagram of the speed control system are estimated by actual experiments and the effects of gain change of the governor in the speed characteristics are examined theoretically and experimentally.

The obtained result seems to be satisfactory and very useful for the improvement of quality of electric power supplied by a single alternator driven by the diesel engine especially for electric power system of ships.

1. 序 論

디이젤發電裝置는 單機로 大容量을 얻기는 困難하나 取扱이 容易하고 콤팩트型으로 容積當出力이 커서 船舶用發電機나 自家用發電機처럼 小單位 電力發生用으로 널리 利用되고 있다. 그러나, 이 裝置에서는 船舶用發電機에서와 같이 他電力系統과 聯繫하지 않고 單獨으로 電力を 供給하는 境遇에는 그 速度制御特性이 크게 問題가 되고 있다. 즉 現在 使用되고 있는 디이젤發電裝置는 速度特性이 不良하여, 負荷變動에 따르는 速度變動이 甚할 뿐더러 速度의 off-set(殘留偏差)가 커서 良質의 電力を 얻기 困難하고 電氣機器의 故障率도 增大한다. 이에 對한 對策으로 船舶에서는 船舶建造當時 需用負荷의 2倍以上되는 큰 容量의 發電裝置를 設置하고 있는 實情^{1)~11)}이며 이는 船舶의 經済性을 크게 低下시키고 있다. 이 裝置의 原動機인 디이젤機關의 速度特性을 考察한 研究로서 아나로우電子計算機에 依한 시뮬레숀을 通한 研究, 機關에서 分離된 調速機만에 對한 研究等의 結果는 지금까지 많이 發表되고^{6)~11)} 있다.

筆者は 本研究에서 디이젤發電裝置의 速度制御系統에 對하여 그 特性을 理論的으로 解析하고 그 한 例로

서 韓國海洋大學에서 自家用發電機로 驅動中에 있는 디이젤發電裝置를 實驗用으로 選定하여 그 速度特性을 具體的으로 考察하는데 必要한 諸定數值를 實驗을 通하여 測定하는 方法을 提示함과 同時に 負荷實驗을 通하여 理論的解析結果의 妥當性을 檢討하였으며 諸定數中 速度制御系統에서 中樞的인 役割을 하는 調速機의 增減(gain)이 速度制御特性 및 安定性에 미치는 影響을 考察하였다.

本研究는 船舶用 디이젤發電裝置의 速度特性에 關한 全般的인 研究를 行하고, 이의 特性을 改良하기 위한 第一段階의 研究로서 窮極의 으로는 船用디이젤發電裝置의 速度制御特性을 改良하여 高價한 船用電子電氣機器의 壽命을 延長시키고 船舶의 經濟性을 向上시키는데 그 目的이 있다.

2. 理 論

2.1. 디이젤發電裝置의 速度制御系統의 블록線圖

디이젤發電裝置의 速度制御系統에 對해서 그 非線形性을 無視하고 便宜上 調速機, 機關 및 回轉系統의 3部分으로 區分하여 2), 3), 5), 6) 를 블록線圖로서 表示하면 近似的으로 그림 1과 같이 된다. 本論文에서 發電裝置, 機關, 回轉系統을 각각 다음과 같이 定義하기로 한다

發電裝置: 디이젤機關과 發電機가 直結되어 發電할 수 있도록 된 全 裝置를 가르킴.

*正會員 · 韓國海洋大學副教授(工博)

**正會員 · 韓國海洋大學副教授

機關：機關中에서 調速機 및 軸系를 除外하고 燃料燃燒에 依해서 回轉力を 發生하는 部分만을 가르킴。

回轉系統：發電裝置中 全 回轉部分을 가르키고 機關의 크랭크軸, 發電機의 回轉子, 그리고 이것과 聯動되는 往復運動部分中 回轉系統으로 換算된 部分도 包含된다.

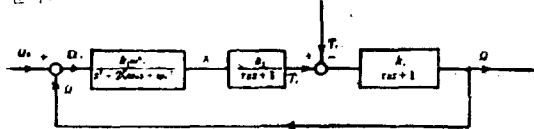


그림 1. 디이젤發電裝置의 速度制御系統의 블록線圖

Fig. 1. The block diagram of speed control system of the diesel power generating-set.

그림 1에서 各記號의 意味는 다음과 같다.

ω : 發電裝置의 角速度

$\Omega(s)$: ω 의 s函數

$\Omega_R(s)$: ω 의 設定值의 s函數

$\Omega_e(s)$: 角速度의 設定值와 制御值와의 差의 s函數
 x : 燃料 滙프의 離子 (rack)

$X(s)$: 離子變位의 s函數

m : 調速機內 可動部分의 等價質量으로서 離子 本體와 이것과 聯動되는 모든 部分이 包含됨

k_s : 調速機內에 들어있는 速度設定用 電子係數

ω_n : 調速機의 離子可動部分의 固有角周波數

$$\left(\omega_n = \sqrt{\frac{k_s}{m}} \right)^6$$

C : 離子可動部分의 粘性摩擦抵抗係數

$$\zeta : \text{調速機의 離子可動部分의 減衰率} \left(\frac{C}{2\sqrt{k_s m}} \right)$$

$$k_1 : \text{調速機의 계인} \left(\frac{d\omega}{d\omega_e} \right)$$

τ_e : 機關의 有効回轉力

$T_e(s)$: τ_e 의 s函數

$T_r(s)$: 負荷回轉力의 s函數

$$k_2 : \text{機關의 계인} \left(\frac{d\tau_e}{dx} \right)$$

k : 回轉系統의 角粘性摩擦抵抗모우멘트係數

τ_E : 回轉系統의 時定數

J : 回轉系統의 惣性モウメン트

τ_E : 機關의 時定數

k_3 : 回轉系統의 계인 ($1/k$)

그림 1에서 離子變位를 入力으로하여 回轉力 τ_e 를 發電하는 部分 즉 機關을 一次延迟系 $\frac{k_2}{\tau_E s + 1}$ 로近似시켰다. 機關에 있어서는 離子變位가 있은 후 1~2回轉한 후에 (4cycle機關에서는 2回轉, 2cycle機關에서

는 1回轉) 離子의 變位에 該當하는 回轉力を 發生하므로 時間延迟이 存在한다. 이것을 近似的으로 表示하는 것이 τ_E 이다. 그러나 實際에 있어서 τ_E 는 回轉系統의 時定數 τ_E 에 比하여 極히 簡으로 無視할 수 있다. 이 境遇에 그림 1의 블록線圖로 부터 $\Omega(s)$ 는 (1)式과 같이 된다.

$$\Omega(s) = \frac{G_0}{1+G_0} \Omega_R(s) - \frac{G_R}{1+G_0} T_r(s) \quad (1)$$

$$\text{但 } G_0 = \frac{\zeta \omega_n^2 k_1 k_2 k_3 / \tau_E}{(\omega_n^2 + 2\zeta \omega_n + \omega_n^2)(1 + 1/\tau_E)} \quad (2)$$

$$G_R = \frac{k_3 / \tau_E}{s + 1 / \tau_E} \quad (3)$$

2. 디이젤發電裝置의 速度應答特性

디이젤發電裝置의 速度制御系統은 定值制御系統으로一般的으로 速度의 設定值 $\Omega_R(s)$ 는 固定되어 있다. 따라서 以下 本論文에서는 $\Omega_R(s) = 0$ 으로 놓고 負荷變動에 依한 $\Omega(s)$ 의 變化에 對하여 考察하기로 한다.

이 때에 x , τ_e , ω , ω_n 등의 모든 變數 및 이들의 s函數는 平衡值로 부터 빛나간 量을 나타내게 된다. 이 境遇에 速度制御系統의 特性方程式은 (4)式과 같이 된다

$$s^3 + (1/\tau_E + 2\zeta \omega_n)s^2 + (\omega_n^2 + 2\zeta \omega_n/\tau_E)s + K = 0 \quad (4)$$

$$\text{但 } K = \omega_n^2 k_1 k_2 k_3 / \tau_E \quad (5)$$

디이젤發電裝置의 速度制御系統에 있어서 速度의 過渡應答, 定常應答 및 安定性等은 (4)式의 特性根에 依하여 決定되므로 이 根들을 s_1, s_2, s_3 라 하고 이들을 求해 보면 다음과 같다.

$$s_1 = -\sigma_1, \quad s_2 = -\sigma_2 - j\omega_0, \quad s_3 = -\sigma_2 + j\omega_0 \quad (6)$$

$$\text{但 } \sigma_1 = \frac{1}{3} \left(\frac{1}{\tau_E} + 2\zeta \omega_n + \frac{\sqrt[3]{\sqrt{B^2 + 4A^3} + B}}{2} \right) \\ - \frac{\sqrt[3]{\sqrt{B^2 + 4A^3} - B}}{2} \quad (7)$$

$$A = \frac{1}{3} \left\{ -\frac{1}{3} \left(\frac{1}{\tau_E} + 2\zeta \omega_n \right)^2 + \omega_n^2 + 2\zeta \omega_n / \tau_E \right\} \quad (8)$$

$$B = \frac{2}{27} \left(\frac{1}{\tau_E} + 2\zeta \omega_n \right)^3 - \frac{1}{3} \left(\frac{1}{\tau_E} + 2\zeta \omega_n \right) \\ (\omega_n^2 + 2\zeta \omega_n / \tau_E) + \omega_n^2 k_1 k_2 k_3 / \tau_E + \omega_n^2 / \tau_E \quad (9)$$

$$\sigma_2 = \frac{1}{2} \left(\frac{1}{\tau_E} + 2\zeta \omega_n - \sigma_1 \right) \quad (10)$$

$$\omega_0 = \frac{1}{2} \sqrt{4[\omega_n^2 + 2\zeta \omega_n / \tau_E - \sigma_1(1/\tau_E + 2\zeta \omega_n - \sigma_1)]} \\ - \left(\frac{1}{\tau_E} + 2\zeta \omega_n - \sigma_1 \right)^2 \quad (11)$$

(1) 過渡應答特性

筆者가 다루는 範圍는 減衰振動의 경우로서 定常運動狀態에서 運轉中 負荷를 階段狀으로 除去하였을 때 즉 $T_r(s) = -\frac{1}{s}$ 인 경우를 생각한다. 이 때 $\Omega(s)$ 는

$$\Omega(s) = \frac{k_3 / \tau_E (s^2 + 2\zeta \omega_n s + \omega_n^2)}{s(s + \sigma_1)(s + \sigma_2 + j\omega_0)(s + \sigma_2 - j\omega_0)} \quad (12)$$

$$= \frac{C_0}{s} + \frac{C_1}{s + \sigma_2} + \frac{C_2}{s + \sigma_2 + j\omega_0} + \frac{C_3}{s + \sigma_2 - j\omega_0} \dots \dots \dots \quad (13)$$

따라서, 速度의 過渡應答 $\omega(t)$ 은 (14)式과 같아지게 된다.

$$\omega^{(t)} = C_0 + C_1 e^{-\sigma_1 t} + 2 |C_2| e^{-\sigma_2 t} \cos(\omega_0 t + \phi) \quad \dots \dots \quad (14)$$

$$\text{但 } C_0 = \frac{k_3/\tau_R}{k_1 k_2 k_3 / \tau_R + 1 / \tau_R} = \frac{k_3}{k_1 k_2 k_3 + 1} \quad \dots \dots \dots (15)$$

$$C_1 = -\frac{k_3/\tau_R(\sigma_1^2 - 2\zeta\omega_n\sigma_1 + \omega_n^2)}{\tau_R^2(-\zeta^2 + \omega_n^2)} \dots \quad (16)$$

$$C_2 = \frac{k_3 / \zeta_R [2\sigma_2\omega_0 - 2\zeta_{w_0}\omega_0 - j]}{2\omega_a(\sigma_2 + j\omega_a)} - \frac{(\sigma_2^2 + \omega_{w_0}^2 - \omega_0^2 - 2\zeta_{w_0}\sigma_2)}{(\sigma_2 - \sigma_1 - j\omega_a)} \quad \dots \quad (17)$$

$$C_3 = \frac{k_3/\tau_R [2\sigma_2\omega_0 - 2\zeta\omega_0\omega_0]}{2\omega_0(\sigma_2 - j\omega_0)} + j(\sigma_2^2 + \omega_n^2 - \omega_0^2 - 2\zeta\omega_0\sigma_2) \quad \dots \quad (18)$$

$$\varphi = \tan^{-1} \frac{\sigma_2^2 w_n^2 - \omega_0^2 - 2\zeta w_n \sigma_2}{2\sigma_2 w_0 - 2\zeta w_n \omega_0} + \tan^{-1} \frac{\omega_0}{\sigma_2} - \tan^{-1} \frac{\omega_0}{\sigma_2 - \sigma_0} \quad \dots \dots \dots (19)$$

(14)式에서는 C_0 는 速度의 off-set로서 이에 對하여서는 다음 節에서 論하기로 한다. (14)式의 둘째 항은 指數減衰函數 ($\sigma_1 > 0$)이고 σ_1 의 크기에 影響을 주는 因數는 (7), (8), (9)式에서 檢討할 수 있다. (14)式의 세째 항에 있어서 $\sigma_2 > 0$ 일 때는 減衰振動이 되겠지만 σ_2 가 $1/\tau_R + 2\zeta\omega_n$ 보다 커지면 σ_2 는 負가되어 速度制御系統은 發散한다. 그러나 實際에 있어서는 마찰抵抗이 非線形性이기 때문에 振幅이 無限히 커질 수 없고 一定振幅의 持續振動을 하게 된다.

(2) 定常應答特性

階段狀 負荷가 除去된 후 最終의 으로 남는 速度의 off-set를 最終值定理에 依하여 求해 보면 (20)式과 같아지게 되다.

$$\lim_{t \rightarrow \infty} \omega_{(1)} = \lim_{s \rightarrow 0} s \cdot \Omega^{(s)} = -\frac{G_R}{1+G_0} \Big|_{s=0} = \frac{k_3}{k_1 k_2 k_3 + 1}$$

$$= \frac{1}{k_1 k_2 k_3 + 1} \quad \dots \dots \dots \quad (20)$$

즉 off-set는 (14)式의 C_0 와 같이 된다. off-set의 크기는 調速機의 계인(k_1), 機關의 계인(k_2) 및 角粘性 마찰抵抗모우멘트(k)가 커지면 적어지나 k 는 그 값이 적어서 큰 影響을 미치지 않는다.

(3) 速度安定性

本制御系統의 루우프傳達函數는 3個의 根을 가지는
데 그중 2個는 調速機에 依하여 定해 지고 나머지 하
나는 發電裝置의 回轉系統의 時定數에 따라 定해진다
 σ_1, σ_2 를 (7)~(10)式에서 考察해 보면 루우프계인이一
定한 때는 $1/\tau_R$, $2\zeta\omega_n$ 가 커 짐에 따라 增加하겠지만
루우프계인이 커지면 σ_1 은 커지고 σ_2 는 적어지며 $\sigma_2=0$

즉 $\sigma_1 = 1/\tau_R + 2\xi\omega_n$ 以上으로 루우프케인인 커지면 發散 振動이 일어난다. 즉 $\sigma_1 = 1/\tau_R + 2\xi\omega_n$ 되는 點이 安定限界點이다. 調速機의 特性이 달라지면, 즉 렉크의 可動部分의 抵抗이 커지고 強한 용수철을 使用할수록 j 軸 과는 멀리 負의 實軸과는 가깝게 極이 位置하게 되며 헌팅이 發生할 臨界루우프케인은 커진다. Hurwitz의 條件을 利用하여 (4)式으로 부터 이 系統의 安定條件를 求해 보면 다음式과 같이 된다.

$$(1/\tau_R + 2\zeta\omega_n)(\omega_n^2 + 2\zeta\omega_n/\tau_R) \geq K \geq 0 \quad \dots \dots \dots \quad (21)$$

具體的인 實例는 다음 節에서 實驗發電裝置를 例로
해서 論하기로 한다.

3 實驗

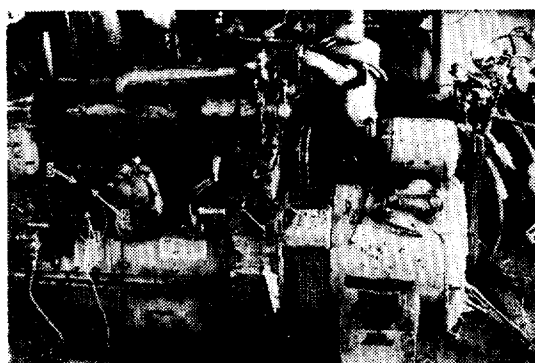
3.1 實驗裝置與實驗方法

以上의 理論解析을 뒷 바침하기 위하여 表·1과 같은 諸元을 갖는 發電裝置를 實驗發電裝置로 選定하여 이 發電裝置에 對하여 그림·1에 表示된 調速機의 各定數 機關의 계인 및 回轉系統의 各 定數들의 値을 運轉狀 態과 同一한 條件下에서 推定한 다음 負荷實驗을 行하기로 한다.

表·1 實驗디이집發電裝置의 諸元

Table·1 賽驗用發電裝置之諸元
Table·1 Specification of experimental diesel power generating-set

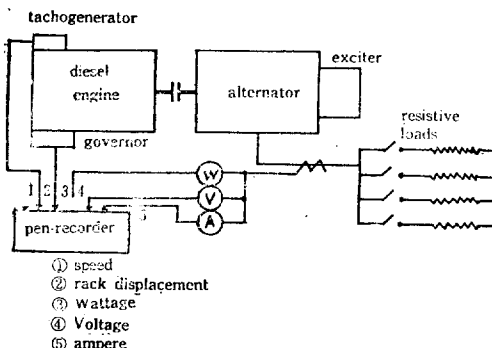
機 關	4氣笛, 1,200rpm, 4사이클 45HP, Caterpillar D-135.
交流發電機	3相, 6極, 線間電壓 440V, 容量 33.8KVA, GE.



그림·2 實驗di이 절發電裝置

Fig.2 Experimental diesel power generating-set.

그림·2는 實驗에 使用된 디이젤發電裝置의 寫眞이며 그림·3은 實驗裝置의 系統圖로서 이 實驗에서 發電裝置의 回轉速度, 負荷의 크기(電力), 펙크의 變位는 다음과 같은 方法으로 測定하였다.



그림·3 實驗裝置의 說明圖
Fig.3 Experimental apparatus.

回轉速度 : 本發電裝置에 蓄電池充電用으로 附着된
小型分捲發電機를 他勵磁發電機로 結線을 바꿔 他直流
電源 (12V)에서 勵磁시켜 回轉速度에 比例하는 電壓
을 얻어 펜레코오우터를 利用하여 記錄할 수 있도록
하였다.

負荷의 크기 : 負荷는 니크롬線으로 架空電線처럼 布
 달고 4段으로 나이프스위치로서 投入 혹은 遮斷할 수
 있도록 하였고 電壓과 電流는 指示計器에 指示되도록
 하였을 뿐만 아니라 어댑터를 거쳐 펜레 코우더에 記錄
 할 수 있도록 하였다.

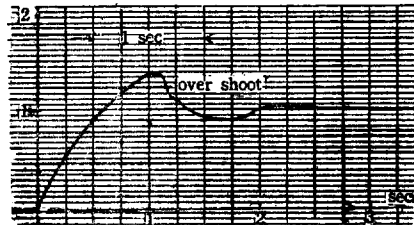
액크의 變位：本實驗디이젤裝置에는 액크變位測定裝置가 없기 때문에 액크와 聯動하는 回轉암의 位置에 따라 電壓이 變하도록 하여 이 電壓을 펜레코우더에 記錄되도록 하였다. 그림·2에서 ①은 回轉암과 接觸되도록 만든 低抗線, ③은 回轉암의 中心이고 액크는 ②의 内部에서 움직인다.

3.2 發電裝置의 各 定數測定

(1) 調速機의 ζ 및 ω_n 의 测定⁶⁻⁷⁾

調速機의 ζ 및 ω_n 는 實驗의으로 推定하는 데는 여러가지 方法이 있으나 여기서는 簡單한 方法으로서 調速機의 인디셜應答(indicial response)을 測定하여 이 波形으로 부터 ζ 및 ω_n 의 値을 推定하기로 한다. 그러나 調速機의 인디셜應答을 測定하기 위하여 角速度 ω 를 階段狀으로 變化시킨다는 것은 實際의으로 不可能하며 調速機를 發電裝置로 부터 分離시켜 實驗할 수도 없다. 따라서 本實驗에서는 다음과 같이 測定하였다. 實驗 디이젤發電裝置를 他 電源과 並列運轉을 시킨 다음 實驗디이젤發電裝置에 供給되는 燃料를 徐徐히 遮斷하면 發電機는 同期電動機로 바뀌진다. 이 狀態는 運轉과 同一條件에서 調速機를 分離시켜 外部에서 定格速度로

回轉시켜 주는 것과 같다. 백크를 人爲의으로 당기면
調速機內 聯動되는 全 機構는 人爲的으로 移動된 狀態
에 놓이고 ω 가 階段狀으로 變化된 것과 同一한 結果가
되므로 백크를 人爲의으로 당겼다가 急히 놓아주면 백
크가 定格速度(1200 rpm)에 該當하는 位置로 되돌아
가게 된다. 이 때의 백크의 應答을 記錄하면 이것이
바로 調速機의 인디셜應答이다. 그림·4는 이와 같이
하여 記錄된 백크의 變位 x 의 波形이다.



그림·4 階段狀의 入力에 대한 調速機의 過渡應答
 Fig.4 Transient indicial response of governor to step input.

그림·4의 應答被形은 二次늦음系統의 인디설應答曲線과는 약간 差異가 있다. 이는 톤크의 可動部分에 僅少하게 存在하는 乾性마찰抵抗과 lost motion等의 非線形性에 起因한 것으로 생각된다. 여기서는 그림·4의 波形을 2次늦음系統의 인디설應答으로 보고 이의 오우버슈트와 振動周期로 부터 ζ 와 ω_n 의 값을 求하기로 한다. 오우버슈트를 θ_m , 振動周期를 T_g 라 하면 이들을 (22), (23)式으로 表示된다.¹⁵⁾¹⁹⁾

$$T_g = \frac{2\pi}{\sqrt{1 - \zeta^2} \omega_n} \quad \dots \dots \dots \quad (23)$$

그림 · 4의 波形으로 부터 $\theta_m = 0.21$ $T_s = 1.25\text{sec.}\circ$
므로 〔와 ω_n 는 다음과 같이 된다.

$$\zeta = 0, 45$$

$$\omega_n = 5.62 \text{ [rad/sec]}$$

(2) 調速機의 계인 (k_1) 测定

前項의 實驗中 同期電動機로 바꿔진 狀態로서 外部電源의 周波數를 變化시켜 주어 (本 實驗에서는 並列運轉하는 他 發電裝置의 回轉速度를 바꿔주었음) 實驗이 이전 發電裝置의 回轉速度는 變化되고 이에 따라 택크變位 x 도 變化한다. 表·2는 回轉數變化에 對한 x 의變化量의 測定值를 表示한다.

表·2로 부터 調速機의 계인 (k_1)을 求하면 다음과
같이 된다.

表・2 角速度에 對한 랙크變位의 比

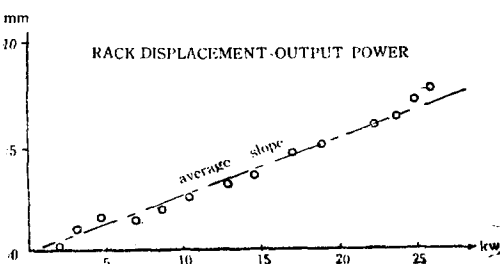
Table.2 Rack displacement vs angular velocity variation.

rpm	1,125	1,150	1,200	1,250	1,270
ω rad/sec.	117.81	120.43	40π	130.90	132.99
rack displacement mm	-3.48	-2.32	0	2.31	3.22

$$k_1 = \left(\frac{dx}{d\omega} \right)_{m=an} = 0.44 [\text{mmsec}/\text{rad}]$$

(3) 機關의 계인(k_2)測定

실린더 내 가스壓力狀態와 크랭크와 콘넷팅 롱트의 相對位置에 따라 瞬時回轉力은 變하겠지만 燃料噴射量以外 다른 條件이 不變이라 하면 平均回轉力은 랙크變位 x 의 函數이고 $\frac{dx}{d\omega}$ 가 動作點 近傍의 機關계인이 된다. 發電裝置를 rpm 1200으로 維持하면서 負荷를 增加시킴에 따라 랙크의 變位를 記錄한 것이 그림·5이다.



그림·5 랙크變位에 對한 出力

Fig.5 The ratio of output power to rack displacement.

그림·5에서 平均기울기를 求하면 3.2 kW/mm 가 되고 이것으로 부터 機關의 계인(k_2)의 値을 計算하면 다음과 같이 된다.

$$k_2 = 3.2 \times \frac{1,000 \times 60}{2\pi \times 1,200} = 25.45 [\text{N} \cdot \text{m}/\text{mm}]$$

(4) 角粘性摩擦抵抗모우엔트係數(k)의 测定

發電裝置가 一定角速度 ω_m 으로 回轉하고 있을 때, 回轉力에는 (24)式과 같은 平衡式이 成立된다.

$$\tau_0 = M_m + \frac{P_m}{\omega_m} \quad (24)$$

여기에서

 τ_0 ; 機關에서 發生하는 總回轉力 M_m ; 角速度 ω_m 일 때 發電裝置

全體에서 作用하는 摩擦抵抗모우엔트

 P_m ; 角速度 ω_m 일 때의 出力(電力)

랙크를 固定시킨 채 出力を P_m 에서 P_n 로 減少시키면 機關에서 發生하는 回轉力은 變化가 없으므로⁴⁾ 發電裝置의 回轉速度는 ω_m 에서 ω_n 로 增加하고 摩擦抵抗

모우엔트는 M_m 에서 M_n 로 增加되어 (25)式과 같은 式으로 平衡式이 成立한다.

$$\tau_0 = M_n + \frac{P_n}{\omega_n} \quad (25)$$

여기에서

 M_n ; 角速度 ω_n 일 때 發電裝置 全體에 作用하는 摩擦抵抗모우엔트 P_n ; 角速度 ω_n 일 때의 出力(電力)

(24)式과 (25)式의 差中 $M_n - M_m$ 에는 角速度의 크기와 關係없는 摩擦抵抗모우엔트는 相殺되고 增加된 粘性摩擦抵抗모우엔트만 남는다. 따라서 ω_m (여기서는 1200 rpm) 近傍의 角粘性摩擦抵抗모우엔트係數

(k)로 나타내면

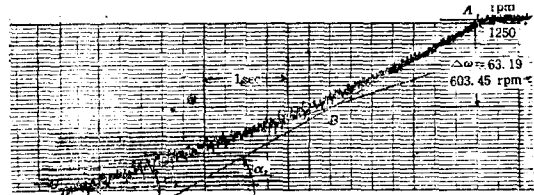
$$k \cdot (\omega_n - \omega_m) = \frac{P_m}{\omega_m} - \frac{P_n}{\omega_n} \quad (26)$$

(26)式과 같이 된다. 實驗에서는 $P_m = 1 \sim 0.65 \text{ kW}$, $P_n = 0$ (無負荷)로 하여 增加된 角速度를 數次測定하여 그 平均值로 부터 k를 求하면 다음과 같이 된다.

$$k = 0.6 [\text{N} \cdot \text{m}/\text{rad}]$$

(5) 發電裝置의 慣性모우엔트 测定

發電裝置를 無負荷로 運轉中 急히 燃料를 遮斷하였을 때의 速度變化를 記錄하였다 바, 그 減速曲線을 그림·6과 같이 되었다.



그림·6 實驗データ 發電裝置의 減速特性曲線

Fig.6 Decelerating characteristics curve of speed of the diesel power generating-set.

i) 曲線을 AB와 BC의 두 部分으로 分하여 考察해 보면 처음 A에서 B까지는 角速度가 크므로 粘性摩擦抵抗과 乾性摩擦抵抗에 依하여 減速이 된다. 角速度가 더욱 적어짐에 따라 粘性摩擦抵抗은 消滅되고 角速度의 크기와 關係없는 乾性摩擦抵抗만 남게 되어 一定한 減角加速度로 된 部分이 BC이다. 機關의 總發生回轉力은 τ , 摩擦抵抗모우엔트를 M_f 라 하면 無負荷運轉狀態에서 發電裝置의 回轉力에는 (27)式과 같은 平衡式이 成立한다.

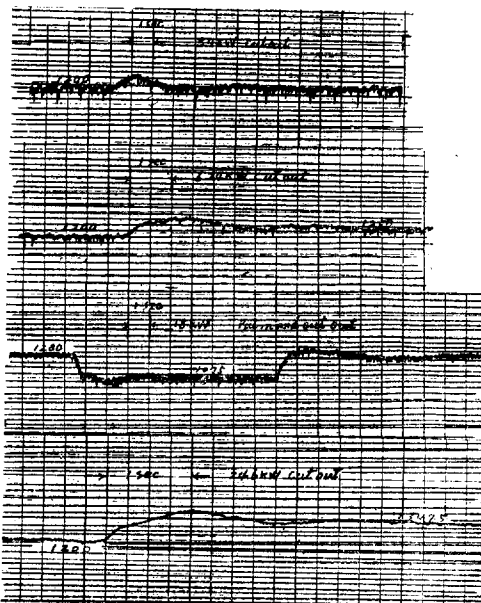
$$\tau - M_f = J \left(\frac{d\omega}{dt} \right) \quad (27)$$

지금 無負荷狀態에서 定格速度로 定狀運轉中 急히 燃料를 斷하여 減速되는 瞬間點(그림·6의 A點)을 생각하면 (28)式을 얻을 수 있다.

$$-J\left(\frac{d\omega}{dt}\right)_{\omega=0} = J \tan \alpha_2 = M_0 \dots \dots \dots (28)$$

但 α_2 : 그림·6의 A點에서의 減速曲線의 接線角
여기에서 M_0 는 定格運轉狀態에서의 總摩擦抵抗모우
멘트로서 다음과 같이 計算할 수 있다.

$$M_0 = \frac{P_i - P_t}{40\pi} \dots \dots \dots (29)$$



그림·7 階段狀 負荷變動에 對한 速度의 過渡應答波形

Fig. 7 The transient speed variation corresponding to the stepwise change of load.

表·3 몇 가지 k_1 에 對한 (14)式의 係數値

Table·3 Values of constants of equation(14) for various values of k_1

k_1	C_0	C_1	$2 C_2 $	σ_1	σ_2	ω_0	ϕ
0.85	0.044994	-0.02504	0.029003	5.544	-0.16	5.84	229.1°
0.76	0.050164	-0.02811	0.031102	5.224	0	5.691	224.0°
0.6	0.063041	-0.03639	0.031880	4.586	0.321	5.421	213.1°
0.44	0.084813	-0.05448	0.031594	3.741	0.7410	5.128	195.6°
0.1	0.0318716	-0.031279	0.008381	0.941	2.142	4.872	119.48
0.55	0.536166	-0.45402	0.006838	0.531	2.344	5.413	204.4°

表·3에서 k_1 이 增大하면 C_0 , C_1 은 減少하고 σ_1 은 增大하여 σ_2 는 k_1 이 0.76보다 더 커지면 負의 值으로 变化되어 진다.

4.2 過渡應答波形에 對한 檢討

前節의 結果로 부터 實驗發電裝置에 對해서 調速機의 係數 k_1 의 變化가 速度의, 過渡應答波形에 미치는 影響을 推察할 수 있으나 여기서는 根軌跡을 利用하여 k_1 의 變化에 依한 特性根의 變化에 對해서 檢討해 보

但 P_i : 實驗發電機를 他電源에 依하여 同期電動機로서 定格速度로 運轉시킬 때의 入力

P_t : 實驗發電機의 同期電動機로서의 電氣的인 損失實驗에서 $P_t = 18\text{kW}$ 로 測定되었고 그림.6에서 $\tan \alpha_2 = 34.91\text{rad/sec}^2$ 으로 P_t 를 2kW (1/2負荷 効率90%)로 推算하면 J 는 다음과 같이 計算된다.

$$J = \frac{M_0}{\tan \alpha_2} = \frac{P_i - P_t}{\tan \alpha_2 \cdot 40\pi} = 3.65[\text{kg-m}^2]$$

3.3 負荷實驗

그림·7은 回轉速度를 1,200rpm의 定格值로 調整해 두고서 몇 가지 크기의 負荷를 投入 혹은 遮斷하였을 때 發電裝置의 角速度의 過渡應答波形을 記錄한 것이다.

그림 7에서 off-set는 負荷의 크기에 比例하고, 같은 크기의 負荷를 投入하였다가 다시 遮斷하였을 때의 速度는 原狀態로 復歸하여 過渡狀態는 1.5sec 程度에서 거의 끝남을 알 수 있다.

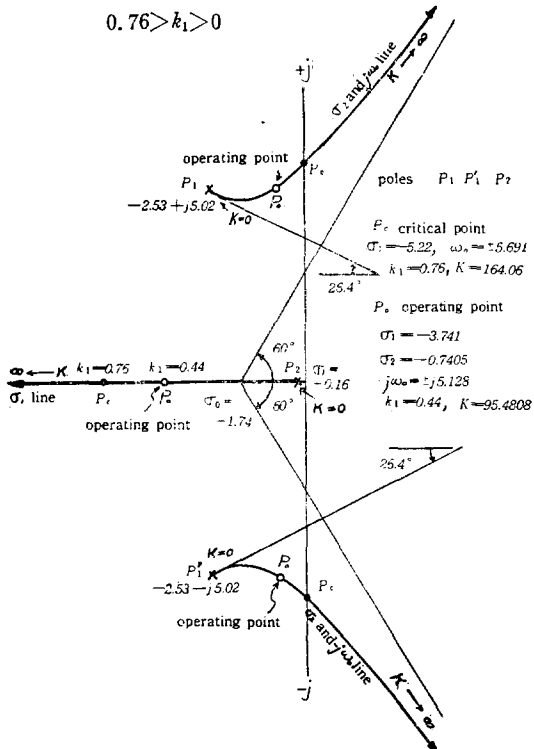
4. 實驗結果에 對한 檢討

4.1 調速機의 係數(k_1)變化에 對한 各定數值의 變化

特性根의 值은 τ_R , ζ , ω_n , k_1 , k_2 , k_3 等에 依하여 決定되지만 그 中에서 k_1 이 變하는 경우 速度의 應答特性이 어떻게 달라지는 가를 實驗發電裝置에 對해서 具體的으로 檢討해 보기로 한다. 즉 上의 實驗을 通過하여 求한 諸定數值를 (7)~(11)式 및 (15)~(20)式에 代入하여 몇 가지 代表적인 k_1 값에 對한 C_0 , C_1 , $2|C_2|$, σ_1 , σ_2 , ω_0 , ϕ 를 計算해 보면 表.3과 같다.

기로 한다. 實驗에서 모든 定數值를 代入하고 k_1 만 變化시켰을 때 速度制御系統의 根軌跡을 그린 것이 그림·8이다.

다음 그림·8에서 P_1 , P_2 , P_3 ,는 $k_1=0$ 일 때의 特性根이고 P_0 는 實驗發電裝置의 現在의 動作點, P_c 는 臨界點이다. k_1 이 增大하여 臨界點 P_c 를 넘어서면 이 系統은 發散하게 된다. 表·3 또는 (21)式으로 부터 이 發電裝置의 速度安定條件은 다음과 같이 된다.

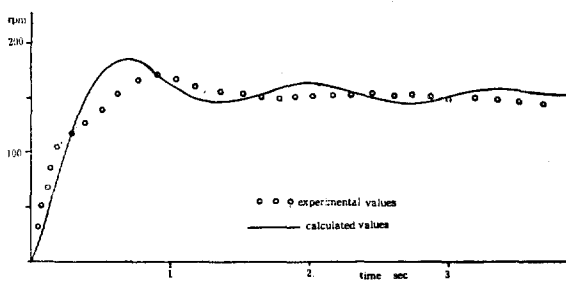


그림·8 速度制御系の根軌跡

Fig. 8 The root locus of the speed contror system.

4.3 理論値와 實驗值의 比較

實驗データ에 根據發電裝置의 動作點에 있어서의 k_1 의 值은 0.44이다. 表 3에서 $k_1 = 0.44$ 에 있어서의 各定數値를 (14)式에 代入하면 (14)式은 回轉力에 對한 角速度의 인디션應答을 나타내는 理論式이 된다. 그림·9는 24.6 kW의 負荷가 遮斷되었을 때 速度變化에 對한 理論的過渡應答波形과 實測한 過渡應答波形을 rpm單位로 하여 比較한 것이다.



그림·9 速度의 計算值와 實驗值의 比較

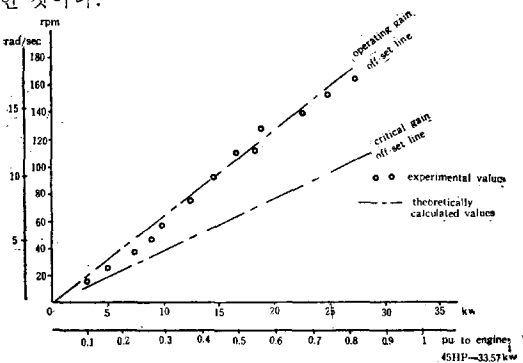
Fig. 9 Comparison of theoretical values and experimental values of speed.

그림 9에서 두 波形을 比較해 보보 最大オーバスト 및

振動角周波数에 있어서 計算值와 實驗值사이에 약간의 差異가 있다. 이는 本研究에서 無視한 調速機의 lost motion, 機關의 回轉力發生過程에 있어서의 非線形性, 摩擦抵抗의 非線形性 및 各定數値의 推定에 있어서 이에 隨伴되는 誤差等에 起因되는 것으로 생각된다. 그러나 實際의으로 發電裝置에 있어서는 過渡特性보다 다음 節에서 論하는 定常特性 특히 off-set가 크게 問題된다.

4.4 速度 off-set에 對한 檢討

負荷變動에 對한 過渡期間은 約 1.5sec 以內이고 그期間이 短아 過渡特性은 크게 問題되지 않으나 off-set는 끝까지 남아 供給電力의 質을 低下시킨다. 그림·10은 負荷크기에 對한 off-set의 理論值와 實測值를 比較한 것이다.



그림·10 off-set의 理論值와 實測值의 比較

Fig. 10 Comparison of the theoretical values and experimental values of speed off-set

그림·10에서 보면 理論值와 實測值사이에 약간 差異가 있다. 이는 輕負荷에서는 燃料에 比해 供給空氣量이 充分하기 때문에 燃燒가 잘되어 機關性能이 커지고 重負荷에서는 負荷가 遮斷되었을 때 速度가 增加함에 따라 摩擦抵抗의 急增으로 增速이 抑制 당하기 때문에 생가된다. 臨界值 off-set線은 本 實驗裝置에 對해서 k_1 을 增加시켜 off-set를 줄일 수 있는 限界線을 나타낸다. 그러나 實際에 있어서 이 限界線까지 k_1 을 增加시키면 헌팅이 일어나므로 off-set는 이보다 더 크다.

5. 結論

以上의 디이젤發電裝置의 速度特性에 對한 理論的解析과 實驗的인 考察을 通하여 다음과 같은 結論을 얻었다.

(1) 디이젤機關의 速度制御系統에 包含되고 있는 非線形要素을 無視하지 近似線形化하였으나 理論的解析과 實驗的인 考察結果는 比較的 잘 一致하였다.

(2) 遠心型機械式調速機를 大量이 利用하고 있는 中小型 디이젤機關의 速度應答特性은 整定時間이 數秒以

內(實驗發電裝置에서는 1.5秒)이어서一般的으로 크게 問題되지 않으나 發電機動用으로서는 더욱 짚아지도 록 改善되어야 한다.

(3) 遠心型調速機로서는 負荷變動에 따른 速度off-set가 不可避하게 생긴다. 이 off-set는 調速機의 계인을 크게 함으로써 적어지나 이에는 限界點이 있다.

實驗發電裝置의 限界點은 調速機의 계인이 0.76이고 이때의 off-set는 2rpm/kW이다. 따라서 off-set를 더 적게 하는 對策이 要望된다.

그러나 (1) 디이젤發電裝置의 速度特性에 있어서 過度特性을 改善하고 off-set를 줄이는 具體的인 對策. (2) 調速機의 계인以外의 피래미터가 速度特性에 미치는 影響에 對한 考察. (3) 위의 (1), (2)에 依한 船用디이겔發電裝置의 速度特性의 改善이 發電機設置容量의 減少等 船舶의 經濟性 向上에 寄與하는 比重等에 對한 具體的 檢討 및 實際의으로 調速機의 계인을 變更하면서 디이겔發電裝置의 速度特性을 考察하는 實驗等은 앞으로 해야할 課題로서 이들에 對하여서는 現在檢討中에 있으므로 다음 機會에 發表하기로 한다.

參 考 文 獻

- (1) 李成龍; 最近商船에 있어서 發電機容量에 對한 考察
韓國海洋大學論文集第9輯 1974. p.—6.
- (2) 磯村修一 表勵功;
2サイタル ティーゼル機關の動特性
三菱工技報 Vlo. 3, No.5, 1966—9.
- (3) 伊藤堅; カソリン機關の動特性
計測・自動制御學會論文集 1966, 第3卷, 第2號 p.—21.
- (4) 葉山眞治・山泉禎央;
船用ティーデル機關の動特性 Vol9, No. 100, 1970, 8.
- (5) D.E. Bowns. M.I. Meche; The Dynamic-Transfer Characteristics of Reciprocating Engine, Pro-Instn Mech. Engrs. 1970~71, Vol. 185, 16/71
- (6) 高橋利衛; 内燃機關の調速について(との一)
日本機械學會誌, 第62卷, 第48, 3號, 1959. 4.
- (7) 同人, 同題目
(との二)
日本機械學會誌, 第62卷, 第484號, 1959—5.
- (8) 萩野英夫・中材入州夫・田中規稔;
流體ガバナ 内燃機關, 8卷, 9號, 1969—9.
- (9) Ferber, R. Schlerif · Raymond, R.
Angell; Governor Tests by Simulated Isolation of Hydraulic Turbine units. IEEE. transaction on power Apparatus and System; Vol. pas—87, No.5. May, 1968.
- (10) N.G. Alvis; Electric Hydraulic Governor Control for Industrial and Commercial Gas Turbine Use. Transaction of the ASME Journal of Engineering for Power. July 1966/243.
- (11) D.G. Ramey John, W. Skooglund;
Detailed Hydrogovernor Reciprocating for System Stability Studies Appendix I. IEEE Transaction on Power Apparatus and System Vol. pas—89, No.1, January, 1970.
- (12) 中田孝; 自動制御の理論, オーム社, 東京, 1967 5. p.—125.
- (13) 宜理厚; 機械力學, 共立全書, 86東京, 1956 5. p.—13.
- (14) Benjamin, C. Kuo; Automatic Control System 2nd edition, Prantice Hall, Inc. 1967, p.—329
- (15) 河注植; 自動制御, 海事圖書出版部, 釜山, 1974. p—106.
- (16) (14) 揭書 p.—41.
- (17) 長尾主二夫; 内燃機關講義, 養賢堂, 東京, 1964 p.—225.
- (18) (4) 揭書 p.—13.
- (19) Gordon, J. Murphy; Basic Automatic Control Theory, D. Van, Nostrand Company Inc. London. p.—419.